

自动控制理论 A 作业 12

2019 年 12 月 21 日

1 考虑单位反馈系统，其开环传递函数如下，

$$G(s) = \frac{\omega_n^2}{s(s + 2\zeta\omega_n)}$$

当取 $r(t) = 2\sin t$ 时，系统的稳态输出

$$c_{ss}(t) = 2\sin(t - 45^\circ)$$

试确定系统参数 ω_n, ζ 。

解：根据公式 (5-16) 和公式 (5-17)

得到： $c_{ss}(t) = A|G_B(j\omega)|\sin(\omega t + \varphi + \angle G_B(j\omega))$

$$\text{其中： } G_B(s) = \frac{\omega_n^2}{s^2 + 2\zeta\omega_n s + \omega_n^2}$$

$$\text{所以： } |G_B(j\omega)| = \frac{\omega_n^2}{\sqrt{(\omega_n^2 - \omega^2)^2 + (2\zeta\omega_n\omega)^2}}$$

$$\angle G_B(j\omega) = -\arctan \frac{2\zeta\omega_n\omega}{\omega_n^2 - \omega^2}$$

根据题目给定的条件： $\omega = 1, A = 2$

$$\text{所以： } |G_B(j\omega)| = \frac{\omega_n^2}{\sqrt{(\omega_n^2 - \omega^2)^2 + (2\zeta\omega_n\omega)^2}} = \frac{\omega_n^2}{\sqrt{(\omega_n^2 - 1)^2 + (2\zeta\omega_n)^2}} = 1 \quad (1)$$

$$\angle G_B(j\omega) = -\arctan \frac{2\zeta\omega_n\omega}{\omega_n^2 - \omega^2} = -\arctan \frac{2\zeta\omega_n}{\omega_n^2 - 1} = -45^\circ \quad (2)$$

由式 (1) 得 $\omega_n^4 = (\omega_n^2 - 1)^2 + (2\zeta\omega_n)^2$

$$\text{即： } 2\omega_n^2 - 4\zeta^2\omega_n^2 - 1 = 0 \quad (3)$$

由式 (2) 得 $\arctan \frac{2\zeta\omega_n}{\omega_n^2 - 1} = 45^\circ$

$$\text{即： } \omega_n^2 - 2\zeta\omega_n - 1 = 0 \quad (4)$$

联立方程 (3) 和 (4)，解方程得： $\omega_n = 1.848 \quad \zeta = 0.6532$

2 绘制下列传递函数的对数幅频渐近特性曲线

$$(1) G(s) = \frac{2}{(2s+1)(8s+1)};$$

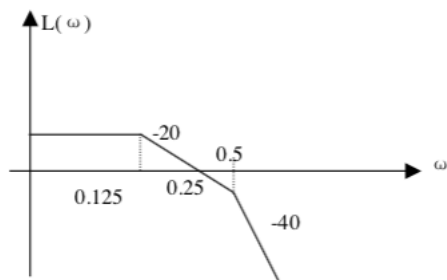
$$(2) G(s) = \frac{200}{s^2(s+1)(10s+1)};$$

$$(3) G(s) = \frac{8\left(\frac{s}{0.1}+1\right)}{s(s^2+s+1)\left(\frac{s}{2}+1\right)};$$

$$(4) G(s) = \frac{10\left(\frac{s^2}{400} + \frac{s}{10} + 1\right)}{s(s+1)\left(\frac{s}{0.1}+1\right)}.$$

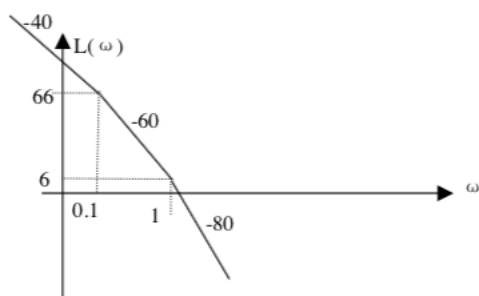
解: (1) 系统的交接频率为 0.125 和 0.5, 低频段渐近线的斜率为-0, 且过 (0.125, 6dB) 点, 截止频率为 $\omega_c = 0.25$ 。

对数幅频渐近特性曲线如下:



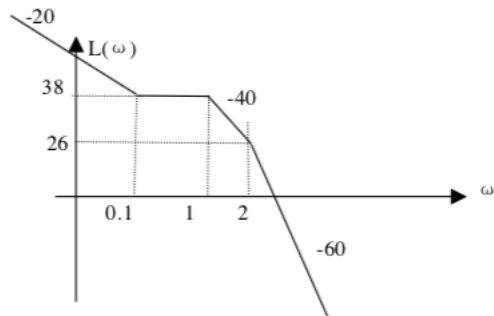
(2) 系统的交接频率为 0.1 和 1, 低频段渐近线的斜率为-40, 且过 (0.1, 66dB) 和 (1, 6dB) 点, 截止频率为 $\omega_c = 2.1$ 。

对数幅频渐近特性曲线如下:



(3) 系统的交接频率为 $0.1 \quad 1 \quad 2$, 低频段渐近线的斜率为 -20 , 且过 $(0.1, 38\text{dB})$ 点, 截止频率为 $\omega_c = 5.43$ 。

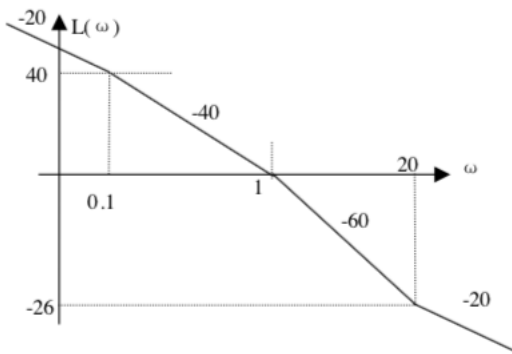
对数幅频渐近特性曲线如下:



(4) 系统的交接频率为 $0.1 \quad 1 \quad 20$, 低频段渐近线的斜率为 -20 , 且过 $(0.1, 40\text{dB})$

点, 截止频率为 $\omega_c = 1$ 。

对数幅频渐近特性曲线如下:



以下题目见哈工大教材第五章习题 (P 272 ~ 273)

5-2 设某控制系统的开环传递函数为 $G(s)H(s) = \frac{75(0.2s+1)}{s(s^2+16s+100)}$, 试绘制该系统的

Bode 图, 并确定其剪切频率 ω_c 之值。

解 (1) 绘制系统的 Bode 图之前, 先将构成传递函数的各串联环节化成典型环节所具有的标准形式

$$\frac{0.75(0.2s+1)}{s[(0.1)^2s^2+2 \times 0.8 \times 0.1s+1]}$$

则有, 开环增益 $K=0.75 \text{ s}^{-1}$, 一阶微分环节的时间常数 $\tau=0.2 \text{ s}$, 振荡环节的时间常数 $T=$

0.1 s 及阻尼比 $\zeta=0.8$, 转折频率分别为 $\frac{1}{\tau}=$

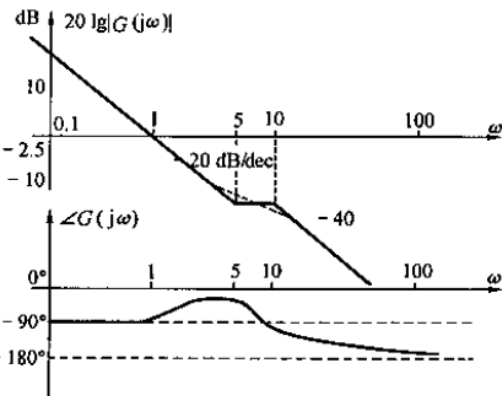
5 rad/s 及 $\frac{1}{T}=10 \text{ rad/s}$ 。绘制系统渐近幅频特

性及相频特性如题 5-2 解图中的实线所示。

图中的虚线为修正后的精确幅频特性, 转折频

率处的修正值为 $20\lg \frac{1}{2\zeta} = -4.08$ 。并且 $20\lg |G(j\omega)H(j\omega)|_{\omega=1} = 20\lg K = -2.5 \text{ dB}$ 。

(2) 对数幅频特性 $20\lg \left| \frac{K}{j\omega_c} \right| = 20\lg 0.75 - 20\lg \omega_c = 0$, 求得 $\omega_c = 0.75 \text{ rad/s}$ 。



题 5-2 解图

5-3 设某系统的开环传递函数为 $G(s)H(s) = \frac{Ke^{-0.1s}}{s(s+1)(0.1s+1)}$, 试通过该系统的频率

响应确定剪切频率 $\omega_c = 5 \text{ rad/s}$ 时的开环增益 K 。

解 该系统的开环幅频特性为

$$|G(j\omega)H(j\omega)| = \left| \frac{K}{j\omega(1+j\omega)(1+j0.1\omega)} \right| = \frac{K}{\omega \sqrt{1+\omega^2} \cdot \sqrt{1+(0.1\omega)^2}}$$

对于时滞环节 e^{-s} , 有 $|e^{-j\omega}| = 1$ 。所以求取其幅频特性 $|G(j\omega)H(j\omega)|$ 时, 可不考虑时滞环节。

根据剪切频率的定义得

$$|G(j\omega_c)H(j\omega_c)| = 1$$

因此, 将 $\omega_c = 5 \text{ rad/s}$ 代入上式, 解出开环增益 $K = 28.5 \text{ s}^{-1}$ 。

5-4 若系统的单位阶跃响应为

$$c(t) = 1 - 1.8e^{-4t} + 0.8e^{-9t} \quad (t \geq 0)$$

试求取该系统的频率响应。

解 由响应表达式得 $c(0) = 0$ 和 $\dot{c}(0) = 0$ 。则求得该系统的传递函数 $G(s)$ 为

$$G(s) = \frac{C(s)}{R(s)} = \frac{36}{(s+4)(s+9)}$$

根据解析法求得该系统的频率响应为

$$G(j\omega) = \frac{1}{\left(1+j\frac{1}{4}\omega\right)\left(1+j\frac{1}{9}\omega\right)}$$

5-5 已知最小相位系统 Bode 图的幅频特性如题 5-5 图所示。试求取该系统的开环传

递函数。

解 从题 5-5 图所示 Bode 图的幅频特性的斜率变化可知,开环传递函数 $G(s)$ 由放大环节及两个惯性环节构成,其时间常数分别为 $\frac{1}{\omega_1}$ 和 $\frac{1}{\omega_2}$, 则

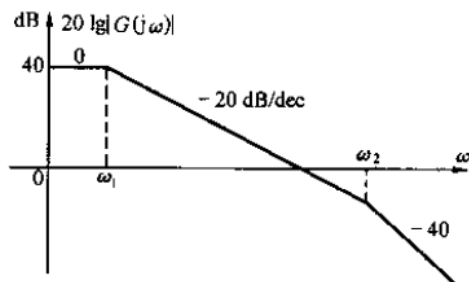
$$G(s) = \frac{K}{\left(\frac{1}{\omega_1}s + 1\right)\left(\frac{1}{\omega_2}s + 1\right)}$$

其中开环增益 K 可由 $20\lg K = 40$ dB 求得。

因此得

$$K = 100$$

所以该系统的开环传递函数为 $G(s) = \frac{100}{\left(\frac{1}{\omega_1}s + 1\right)\left(\frac{1}{\omega_2}s + 1\right)}$ 。



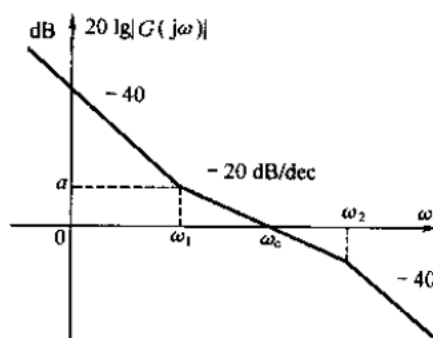
题 5-5 图

5-6 已知最小相位系统 Bode 图的幅频特性如题 5-6 图所示。试求取该系统的开环传递函数。

解 从题 5-6 图所示 Bode 图的幅频特性的斜率及其斜率变化可知,开环传递函数 $G(s)$ 由放大环节、两个积分环节、一阶微分环节及惯性环节构成。一阶微分环节及惯性环节的时间常数分别 $\frac{1}{\omega_1}$ 和 $\frac{1}{\omega_2}$ 。

开环传递函数 $G(s)$ 具有如下形式

$$G(s) = \frac{K\left(\frac{1}{\omega_1}s + 1\right)}{s^2\left(\frac{1}{\omega_2}s + 1\right)}$$



题 5-6 图

设图所示对数幅频特性的低频段可用传递函数 K/s^2 来描述,则其对数幅频特性为

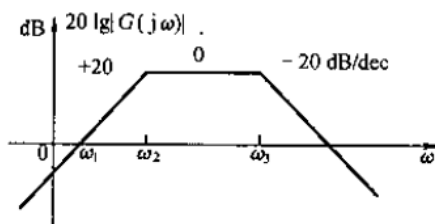
$$L_1(\omega) = 20\lg \frac{K}{\omega^2} = 20\lg K - 20\lg \omega^2$$

并且 $\frac{a - 0}{\lg \omega_1 - \lg \omega_c} = -20$, 求得 $a = 20\lg \frac{\omega_c}{\omega_1}$ 。因为 $a = L_1(\omega_1)$, 求得 $K = \omega_1 \cdot \omega_c$ 。

所以该系统的开环传递函数为 $G(s) = \frac{\omega_1 \cdot \omega_c \left(\frac{1}{\omega_1}s + 1\right)}{s^2 \left(\frac{1}{\omega_2}s + 1\right)}$ 。

5-7 已知最小相位系统 Bode 图的幅频特性如题 5-7 图所示。试求取该系统的开环传递函数。

解 由图可知,系统的开环传递函数 $G(s)$ 由放大环节、微分环节及两个惯性环节构成。两个惯性环节的时间常数分别为 $1/\omega_2$ 和 $1/\omega_3$ 。开环传递函数 $G(s)$ 具有如下形式



题 5-7 图

$$G(s) = \frac{Ks}{\left(\frac{1}{\omega_2}s + 1\right)\left(\frac{1}{\omega_3}s + 1\right)}$$

题 5-7 图所示幅频特性低频段可用式 $L(\omega) = 20\lg K\omega$ 表示, 由图得 $L(\omega_1) = 0$ dB。则求得 K

$$= \frac{1}{\omega_1}。所以该系统的开环传递函数为 G(s) = \frac{\frac{1}{\omega_1}s}{\left(\frac{1}{\omega_2}s + 1\right)\left(\frac{1}{\omega_3}s + 1\right)}。$$

5-8 已知最小相位系统 Bode 图的幅频特性如题 5-8 图所示。试求取该系统的开环传递函数。

解 由图可知, 系统的开环传递函数由放大环节、积分环节、一阶微分环节及振荡环节构成。一阶微分环节及振荡环节的时间常数分别为 1 和 0.4。开环传递函数可写成如下形式

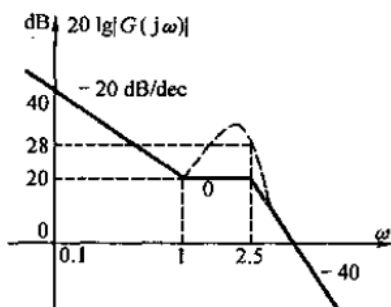
$$G(s) = \frac{K(s+1)}{s[(0.4)^2s^2 + 2\zeta \times 0.4s + 1]}$$

幅频特性低频段可用下式表示 $L_1(\omega) = 20\lg \frac{K}{\omega}$, 并且

$L_1(1) = 20$, 则求得 $K = 10 \text{ s}^{-1}$ 。

振荡环节在其转折频率 $\omega_n = 2.5 \text{ rad/s}$ 处的修正值为 $20\lg \frac{1}{2\zeta} = 28 - 20 = 8 \text{ dB}$, 解出阻尼比 $\zeta = 0.2$ 。所以该系统的开环传递函数为

$$G(s) = \frac{10(s+1)}{s(0.16s^2 + 0.16s + 1)}$$



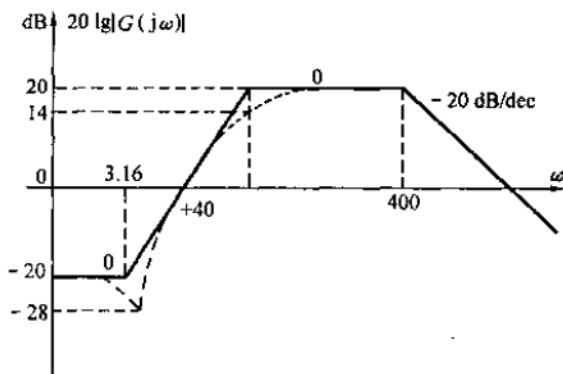
题 5-8 图

5-9 已知最小相位系统 Bode 图的幅频特性如题 5-9 图所示。试求取该系统的开环传递函数。

解 由图可知, 系统的开环传递函数 $G(s)$ 由放大环节、二阶微分环节、振荡环节和惯性环节构成。开环传递函数 $G(s)$ 可写成如下形式

$$G(s) = \frac{K(\tau^2s^2 + 2\zeta_1\tau s + 1)}{(T^2s^2 + 2\zeta_2Ts + 1)(T_1s + 1)}$$

其中 $1/\tau = 3.16 \text{ rad/s}$, $1/T = 31.6 \text{ rad/s}$, $1/T_1 = 400 \text{ rad/s}$ 。二阶微分环节和振荡环节相对应的转折频率间幅频特性的斜率为 $+40 \text{ dB/dec}$, 而上述两转折频率处的对数幅值之差为 $+40 \text{ dB}$, 可见振荡环节的转折频率为 31.6 rad/s 。



题 5-9 图

振荡环节在其转折频率处的修正值为 $20\lg \frac{1}{2\zeta_2} = 14 - 20 = -6 \text{ dB}$, 解出阻尼比 $\zeta_2 = 1$ 。

二阶微分环节在其转折频率处的修正值为 $20\lg 2\zeta_1 = -28 + 20 = -8 \text{ dB}$, 解出阻尼比 $\zeta_1 = 0.2$ 。

根据幅频特性低频段求得 $20\lg K = -20 \text{ dB}$, $K = 0.1$ 。

所以该系统的开环传递函数为 $G(s) = \frac{0.1 \left[\left(\frac{1}{3.16} \right)^2 s^2 + 2 \times 0.2 \times \frac{1}{3.16} s + 1 \right]}{\left[\left(\frac{1}{31.6} \right)^2 s^2 + 2 \times 1 \times \frac{1}{31.6} s + 1 \right] \left(\frac{1}{400} s + 1 \right)}$ 。

5-10 已知最小相位系统 Bode 的幅频特性如题 5-10 图所示。试求取该系统的开环传递函数。

解 根据图中所示幅频特性各段斜率的变化, 可写出具有如下形式的开环传递函数

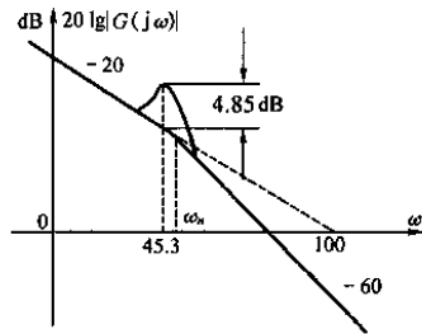
$$G(s) = \frac{K}{s(T^2 s^2 + 2\zeta Ts + 1)}$$

幅频特性低频段可用式 $L(\omega) = 20\lg K - 20\lg\omega$ 表示, 由图得 $L(100) = 0$, 则求得 $K = 100$ 。

对于振荡环节, 其谐振峰值处的修正值为 $20\lg \frac{1}{2\zeta\sqrt{1-\zeta^2}} = 4.85$, 解出振荡环节的阻尼比 $\zeta =$

0.3。并且谐振频率 $\omega_m = \omega_n \sqrt{1-2\zeta^2} = 45.3 \text{ rad/s}$, 解出的无阻尼自振频率 $\omega_n = 50 \text{ rad/s}$, 则振荡环节的时间常数 $T = \frac{1}{50} = 0.02 \text{ s}$ 。最后求得开环传递函数为

$$G(s) = \frac{100}{s(0.0004s^2 + 0.012s + 1)}$$



题 5-10 图

5-1 一环节的传递函数为

$$G(s) = \frac{T_1 s + 1}{T_2 s - 1} \quad (1 > T_1 > T_2 > 0)$$

试绘制该环节的 Nyquist 图(幅相频率特性)和 Bode 图(对数频率特性)。

解 该环节的频率响应为

$$G(j\omega) = \frac{1 + jT_1\omega}{-1 + jT_2\omega}$$

(1) 幅频特性和相频特性分别为

$$|G(j\omega)| = \frac{\sqrt{1 + (T_1\omega)^2}}{\sqrt{1 + (T_2\omega)^2}}, \angle G(j\omega) = \arctan(T_1\omega) + (-180^\circ + \arctan(T_2\omega))$$

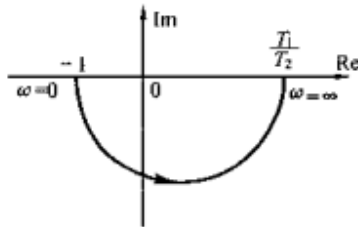
当 $\omega = 0$ 时, $|G(j0)| = 1, \angle G(j0) = -180^\circ$; 当 $\omega = \infty$ 时, $|G(j\infty)| = \frac{T_1}{T_2}, \angle G(j\infty) = 0^\circ$ 。

给定环节的 Nyquist 图如题 5-1 解图(1)所示。

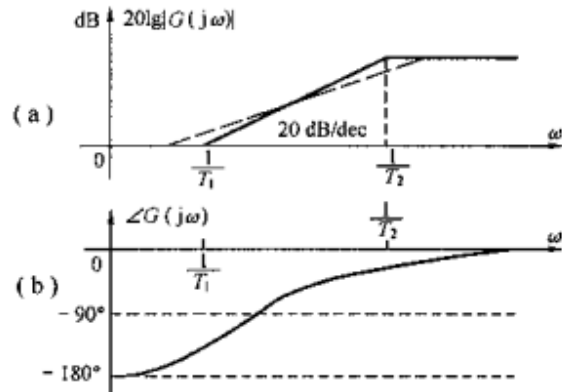
(2) 对数幅频特性为

$$20\lg|G(j\omega)| = 20\lg\sqrt{1 + (T_1\omega)^2} + 20\lg\frac{1}{\sqrt{1 + (T_2\omega)^2}}$$

其中 $\frac{1}{T_1}$ 与 $\frac{1}{T_2}$ 分别为一阶微分环节及不稳定惯性环节的转折频率。则在频段内画出该环节的对数幅频特性和相频特性如题 5-1 解图(2)(a), (b)所示。



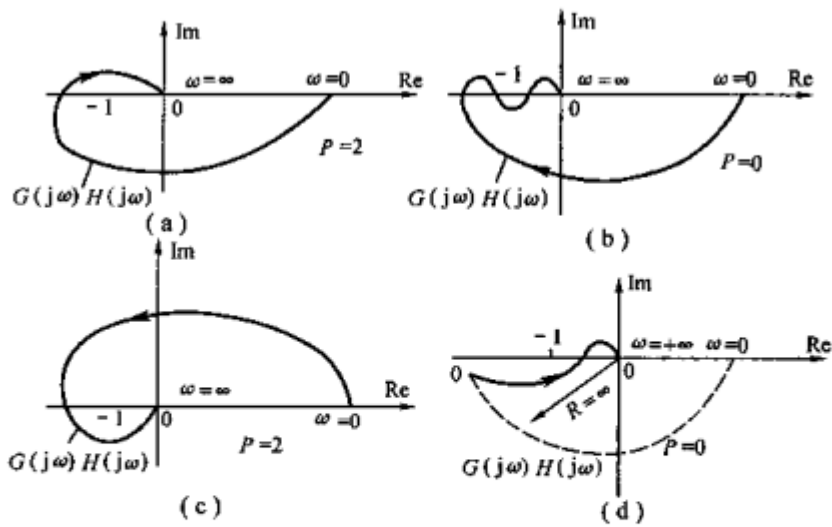
题 5-1 解图(1)



题 5-1 解图(2)

5-12 题 5-12 图所示为四个负反馈系统的开环频率响应 Nyquist 图, 图中 P 为系统含

有的位于 s 平面右半部的开环极点数目。试应用 Nyquist 稳定判据分析各闭环系统的稳定性。



题 5-12 图

- 解 (1)(a)图所代表的闭环系统不稳定;
 (2)(b)图所代表的闭环系统稳定;
 (3)(c)图所代表的闭环系统稳定;
 (4)(d)图所代表的闭环系统稳定。

3 某负反馈系统的开环传递函数为 ($K>1$)

$$G(s)H(s) = \frac{K(\tau s + 1)}{s^2(Ts + 1)}$$

分别讨论当 $T < \tau$ 、 $T = \tau$ 、 $T > \tau$ 三种不同情况下闭环系统的稳定性。

方法一：

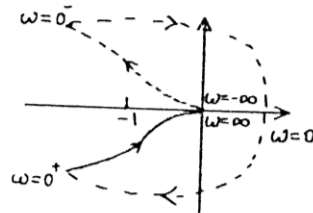
3. $G(s)H(s) = \frac{K(\tau s + 1)}{s^2(Ts + 1)} \quad \therefore G(j\omega)H(j\omega) = -\frac{K(1 + T\tau\omega^2) + j\omega(\tau - T)K}{\omega^2 + T^2\omega^4} \quad (K > 1)$

易得： $G(j0)H(j0) = \infty \angle 0^\circ$ ， $G(j0^+)H(j0^+) = \infty \angle -180^\circ$ ， $G(j\infty)H(j\infty) = 0 \angle -180^\circ$

(1) 当 $T < \tau$ 时，对于 ω 从 0 到 ∞ 有：

$$|\operatorname{Re} G(j\omega)H(j\omega)| \leq 0, \quad |\operatorname{Im} G(j\omega)H(j\omega)| \leq 0$$

得全频段 Nyquist:



$$R = 0, \quad P = 0$$

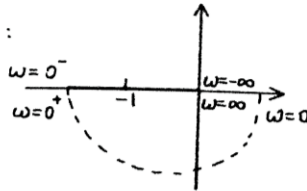
$$\therefore Z = P - R = 0$$

系统稳定。

(2) 当 $T = \tau$ 时，对于 ω 从 0 到 ∞ 有：

$$|\operatorname{Re} G(j\omega)H(j\omega)| \leq 0, \quad |\operatorname{Im} G(j\omega)H(j\omega)| = 0$$

得全频段 Nyquist:



$$R = 0, \quad P = 0$$

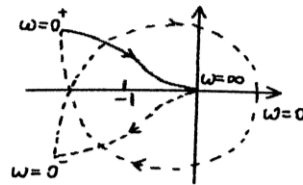
$$\therefore Z = P - R = 0$$

系统临界稳定

(3) 当 $T > \tau$ 时，对于 ω 从 0 到 ∞ 有：

$$|\operatorname{Re} G(j\omega)H(j\omega)| \leq 0, \quad |\operatorname{Im} G(j\omega)H(j\omega)| \geq 0$$

得全频段 Nyquist:



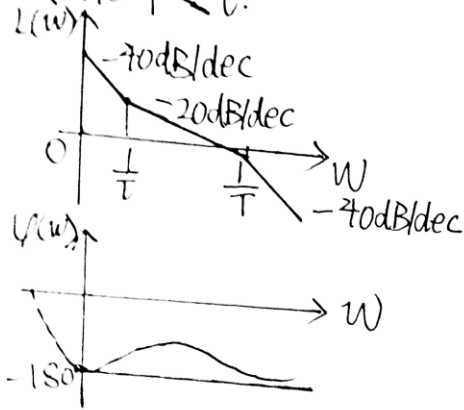
$$R = -2, \quad P = 0$$

$$\therefore Z = P - R = 2$$

系统不稳定。

方法二:

5. (1) $T < \tau$.



奈氏判据稳定

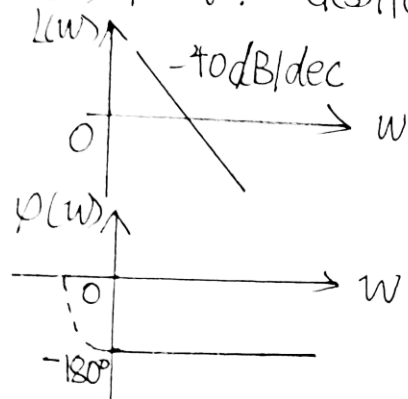
$$N_+ = 0, N_- = 0$$

$$N = N_+ - N_- = 0$$

$$Z = P - 2N = 0$$

闭环系统稳定.

(2) $T = \tau$. $G(s)H(s) = \frac{k}{s^2}$

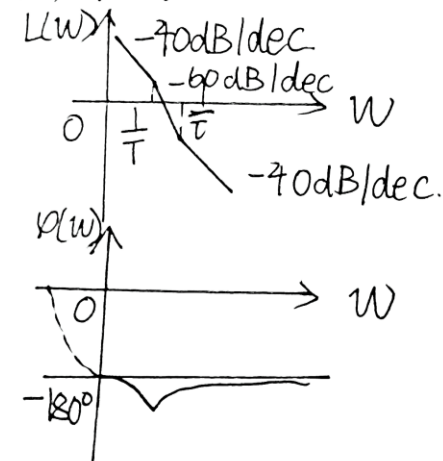


$$N = 0$$

$$Z = P - 2N = 0$$

系统有虚轴上的极点,
所以临界稳定.

(3) $T > \tau$.



$$N = N_+ - N_- = 0 - 1 = -1$$

$$Z = P - 2N = 2$$

系统不稳定.